

การวิเคราะห์แรงดันเกินที่จุดติดตั้งมิเตอร์อ่านหน่วยอัตโนมัติในระบบ 22 กิโลโวลต์ของการไฟฟ้าส่วนภูมิภาค

Over Voltage Analysis at the AMR Energy Meter Unit in 22 kV Provincial Electricity Authority System

นิวัฒน์ อินทไชติ จิราวดันน์ ขัชนุพักดี้ พัชรุณี ไสณะเกย์ธินทร์ และ ผู้รับปริญญา ศุภพิทักษ์สกุล

ภาควิชาศึกษาและวิเคราะห์ คณะวิศวกรรมศาสตร์

มหาวิทยาลัยเทคโนโลยีราชมงคลรัตนบุรี 39 หมู่ 1 ต. คลอง陌 อ. รัตนบุรี จ.ปทุมธานี 12110

โทรศัพท์: 02-549-3520 โทรสาร: 02-549-3422 E-mail: majinbu15@gmail.com

บทคัดย่อ

บทความนี้นำเสนอการศึกษาปัญหาจากการเกิดแรงดันเกินไฟฟ้าผ่าในระบบชำนาญช่างระดับแรงดันปานกลาง 22 กิโลโวลต์ และการวิเคราะห์ที่มาของแรงดันเกินไฟฟ้าผ่าที่จุดติดตั้งมิเตอร์อ่านหน่วยอัตโนมัติ (AMR Energy Meter) ของการไฟฟ้าส่วนภูมิภาคสำหรับเสียงหาย โดยจำลองระบบขณะเกิดไฟฟ้าผ่าด้วยโปรแกรม EMTP-ATP เพื่อช่วยวิเคราะห์แรงดันที่เกิดขึ้น ณ จุดต่างๆ ที่สนใจ จากการศึกษาพบว่าเส้นทางการไหลของกระแสไฟฟ้าผ่าที่ทำให้มิเตอร์ชำรุดเสียหายจะเกิดจากไฟฟ้าผ่าลงระบบสายดินซึ่งอาจทำลายเส้นทางที่อยู่ข้างเคียงสู่ระบบหากสายดินแล้วข้อนกลับขึ้นสู่จุดติดตั้งมิเตอร์ผ่านทางหลักดิน และขังสามารถสรุปได้ว่าเมื่อไฟฟ้าผ่าลงจุดใดก็ตามที่มิเตอร์หรือขนาดกระแสงไฟฟ้าผ่าเพิ่มขึ้นจะส่งผลให้ความรุนแรงจากไฟฟ้าผ่าเพิ่มขึ้นตามไปด้วย ซึ่งสาเหตุที่คาดว่าทำให้มิเตอร์ชำรุดเสียหายและไม่มีเกิดจากแรงดันจุดต่องจิก ณ ตำแหน่งติดตั้งมิเตอร์มีค่าสูงกว่าพิกัดแรงดันกทม ของอุปกรณ์ระบบพลังงานไฟฟ้าของมิเตอร์อยู่ถึง 12.78 กิโลโวลต์ หรือคิดเป็น 3.55 เท่า ที่ระดับกระแสไฟฟ้า 40 กิโลแอมป์

ก้าวสำคัญ: แรงดันเกินไฟฟ้าผ่า มิเตอร์อ่านหน่วยอัตโนมัติ

Abstract

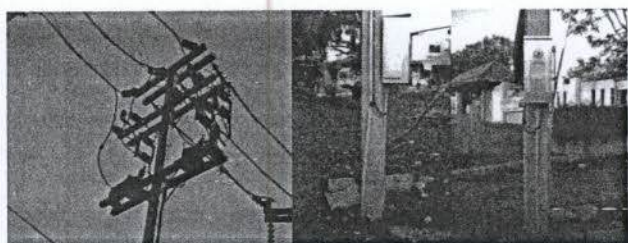
This paper presents a study of lightning over voltage problems in 22 kV medium voltage distribution system and analyzes the damage causes of AMR Energy meter of Provincial Electricity Authority (PEA). EMTP-ATP program is used to determine the overvoltage at the interested positions. As the results of the simulation, it is found that the conducting path of lightning current, which cause of the damage, occurs from the lightning discharge into the Overhead Ground wire (OHWG) at top pole nearby then passes through the grounding system loop back to the AMR Energy meter installation position. Also it can conclude that if the lightning discharge area near the meter installation point or the magnitude of lightning current increase, it will cause more damage to the meter. Thus, it can expect that the defective cause might come from the voltage across grounding point, where the meter is installed, is higher than withstand voltage rating of the varistors in the meter around 12.78 kV or 3.55 times at the lightning current of 40 kA.

Keywords: Lightning Over voltage, AMR Energy meter

1. บทนำ

ปัจจุบันการไฟฟ้าส่วนภูมิภาค (กฟภ.) ได้นำเทคโนโลยีระบบการอ่านหน่วยการใช้ไฟฟ้าอัตโนมัติเข้ามาใช้งานกับผู้ใช้ไฟฟารายใหญ่ที่มีการขอใช้หน้อเปลี่ยนเพลาราย เป็นมิเตอร์วัดค่าพลังงานไฟฟ้าชนิดอ่านหน่วยอัตโนมัติ (AMR) 3 เพส 3 สาย ที่มีการขอใช้ไฟฟ้าประเภทคิดอัตราไฟฟ้าตามช่วงเวลาการใช้ (Time of Use, TOU) โดยปกติมาตรฐานการติดตั้งมิเตอร์วัดค่าพลังงานไฟฟ้าของ กฟภ. จะทำการติดตั้งไว้ภายนอกอาคาร และมีการต่อลงดินแยกจากระบบป้องกันไฟฟ้าผ่านสายสั่งซึ่งประกอบด้วยสายดินซึ่งอากาศ (Overhead Ground wire, OHGW) ตัวนำลงดิน (Down Conductor) และระบบหากสายดิน (Ground Rod System) เพื่อให้สามารถป้องกันความเสียหายจากการเกิดไฟฟ้าผ่า แต่ยังมีมิเตอร์วัดค่าพลังงานไฟฟ้าระบบ AMR บางส่วนชำรุดเสียหาย จากข้อมูลสถิติของศูนย์ควบคุมการอ่านหน่วยอัตโนมัติของ กฟภ. (AMR CENTER) ปี พ.ศ. 2551-2552 มีมิเตอร์ชำรุดที่อาจเสียหาย ไฟฟ้าผ่าจำนวน 169 เครื่อง จากมิเตอร์ชำรุดทั้งหมด 708 เครื่อง หรือคิดเป็นร้อยละ 23.9

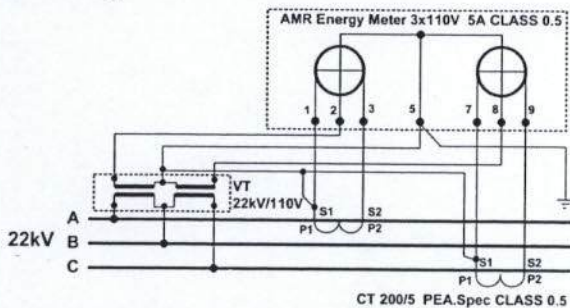
บทความนี้จะกล่าวถึงรูปแบบและการติดตั้งมิเตอร์ของกฟภ. และสมมติฐานการวิเคราะห์สาเหตุที่ทำให้มิเตอร์ชำรุดจากปัญหาแรงดันเกิน ณ จุดติดตั้งมิเตอร์ด้วยแบบจำลองจากโปรแกรม EMTP-ATP วิเคราะห์ค่าแรงดัน ณ จุดต่างๆ ที่เกี่ยวข้องเพื่อระบุสาเหตุที่คาดว่าจะทำให้มิเตอร์ชำรุดคือไป



รูปที่ 1 ลักษณะการติดตั้งมิเตอร์อ่านหน่วยอัตโนมัติ

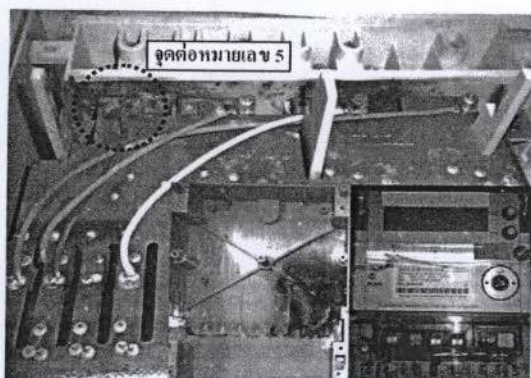
2. การตั้งสมมติฐานและวิเคราะห์สาเหตุของมิเตอร์ชำรุด

สมมติฐานเพื่อการวิเคราะห์เริ่มจากการถอดสำหรับมิเตอร์ที่ชำรุดพบว่าสายด้วยตัวมีร่องรอยการไหม้บริเวณด้านในของชุดต่อร่วมลงคินด้านที่ออกจากหม้อแปลงทกดแรงดัน (VT) เข้ามิเตอร์ที่หลังตำแหน่งหมายเลข 5 ดังรูปที่ 2

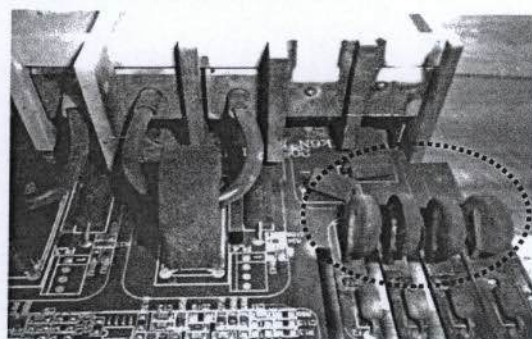


รูปที่ 2 วงจรการต่อ มิเตอร์ AMR 3 เพส 3 สาย ของ กฟภ.

จากการวิเคราะห์เบื้องต้นทางกายภาพแสดงให้เห็นอย่างชัดเจนว่าเกิดจากระบบการต่อลงคิน แสดงดังรูปที่ 3 เนื่องจากการชำรุดส่วนใหญ่สายค่อนโทรศัพท์ต่อจากหม้อแปลงเครื่องวัดไม่มีการไฟน้ำหรือชำรุดจากแรงดันเกินซึ่งในการวิเคราะห์จะมุ่งเน้นไปในแนวทางจากสาเหตุการเกิดไฟฟ้าผ่าลงสายคินป้องกัน โดยการใช้การจำลองเหตุการณ์ด้วยโปรแกรม EMTP-ATP [1] ในการวิเคราะห์หาแรงดันเกินอันเนื่องมาจากไฟฟ้าผ่าจำเป็นต้องวิเคราะห์หาส่วนการไฟของกระแทฟฟ้าผ่าที่ทำให้เกิดแรงดันเกิน ซึ่งผลจากการวิเคราะห์ที่ถูกต้องสามารถนำไปสู่แนวทาง และวิธีป้องกันที่เหมาะสมต่อไป



รูปที่ 3 มิเตอร์ AMR ที่ชำรุดพบอยู่ในส่วนในจุดต่อลงคินหมายเลข 5



รูปที่ 4 วิธีเดตอร์ภายในมิเตอร์ AMR ที่ได้รับความเสียหาย

3. การวิเคราะห์แรงดันเกินอันเนื่องจากไฟฟ้าผ่า

การวิเคราะห์หาแรงดันเกินสามารถทำได้โดยการจำลองระบบด้วยโปรแกรม EMTP-ATP เพื่อช่วยวิเคราะห์หาแรงดันเกิน ณ ตำแหน่งที่ต้องการ โดยแบ่งเป็นหัวข้อดัง

3.1 การสร้างแบบจำลอง

การจำลองระบบเพื่อวิเคราะห์เหตุการณ์ในสภาวะชั่วคราวด้วยโปรแกรม EMTP-ATP จากพารามิเตอร์สายไฟสั้น 3 เพส เป็นชนิด All Aluminium 185 mm² และสายคินปิงจากาคามี 1 เส้น ชนิดลวดเหล็กตีเกลียวขนาด 35 mm² โดยใช้โมเดลสายแบบ LCC รวมทั้งอุปกรณ์บนเสาไฟแก่ พารามิเตอร์ถูกต้อง ความด้านทานคินอิมพัลส์ กับดักไฟฟ้า และหม้อแปลงเครื่องวัดจะใช้ตามมาตรฐานพารามิเตอร์ กฟภ. [3] ที่ระดับแรงดัน 22 กิกโวลต์ ส่วนการจำลองเสากอนกรีตจะใช้ตาม [4] การจำลองอุบัติเหตุ [5] และหม้อแปลงเครื่องวัด (CT และ VT) กรณีความถี่สูง (1 kHz – 10 MHz) [6,7] ถูกแทนด้วยค่าค่าปัจจุบันซึ่ง สำหรับการจำลองเสากอนกรีต [4] มีความสูง 12 เมตร ใช้โมเดล LineZt_1 ค่าเติร์จอิมพัลส์ของเสากอนกรีตกรีดรายตัวนำ สามารถหาได้จากสมการ (1)

$$Z_{pole} = \frac{60}{\sqrt{(L_r - 1/\omega_c R_s)}} \ln \left(\frac{\sqrt{L_r + 1/\omega_c R_s}}{R} \right) \quad (1)$$

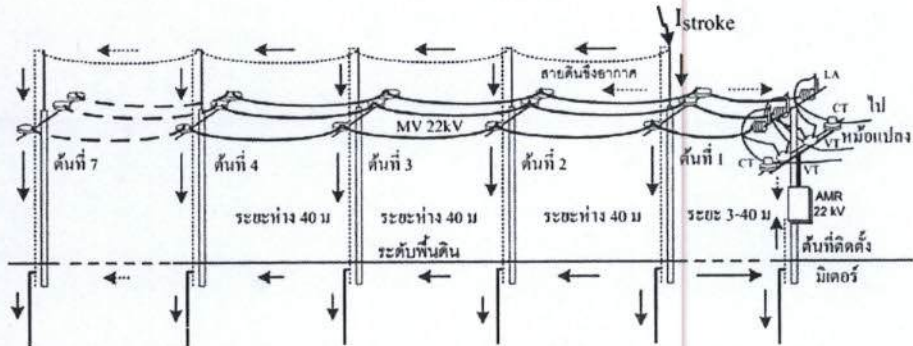
เมื่อ h = ความสูงของเสาไฟฟ้า (เมตร)

R = ความหนาของคอนกรีต (เมตร)

ส่วนการจำลองรากสายคินจะจำลองความด้านทานคินอิมพัลส์และรากสายคินด้วยของ RLC ตาม [2] และจำลองกับดักไฟฟ้า (LA) จะใช้ค่าพิกัดของ กฟภ. ด้วยโมเดล MOV โดยสรุปค่าพารามิเตอร์ที่ใช้ในการสร้างแบบจำลองดังตารางที่ 1

ตารางที่ 1 พารามิเตอร์ที่ใช้จำลองระบบ

Equipments	EMTP Model	Parameters
Line	LCC (J Marti)	AAC 185 mm ² for phase conductor R of phase conductor = 0.161 ohm/km Strand steel 35 mm ² for OHGW R of OHGW = 9.4 ohm/km Span 40 m [3]
Pole	LineZT_1	101 ohm at pole height of 12 m. [4]
Pin type Insulator	C	100 pF (unit) [5]
Instrument Transformer	C	Line-Line Capacitance 490 pF (VT) 310 pF (CT) [6,7]



รูปที่ 5 วงจรเพื่อใช้ศึกษาปัญหาแรงดันเกินบริเวณจุดต่อลงดินของมิเตอร์ AMR และทิศทางการไหลของกระแสฟ้าผ่าหลังจากทำการวิเคราะห์

ตารางที่ 1 (ต่อ) พารามิเตอร์ที่ใช้จำลองระบบ

Equipments	EMTP Model	Parameters
Grounding of meter pole		R = 5 ohm , L = 3.07 uH C = 208.4 pF [2]
Grounding of pole No.1-7		R = 10 ohm , L = 1.957 uH C = 227 pF [2]
Lightning Arrestor	MOV	10 kA 24-26 kV [9]
Lightning source	Heilder	15,20,25,30,35,40 kA 8/20uS [9]
22 kV source	AC3PH	17.96 kV 50 Hz [9]

3.2 หัวข้อการศึกษาและการวิเคราะห์

การศึกษาและวิเคราะห์ค่าแรงดันที่จุดต่อลงดินของมิเตอร์จากประเพณีดังๆ ดังนี้ คือ 1) ขนาดกระแสฟ้าผ่ามีค่าแตกต่างกันตั้งแต่ 15-40 กิโลแอมป์ 2) ระยะห่างระหว่างตำแหน่งฟ้าผ่าลงหัวเสาสายดินซึ่งอาจมากที่สุดออกไปจากเสาที่ติดตั้งมิเตอร์(มิเตอร์ติดตั้งที่เสาต้นปลายหรือ Dead end) ตั้งแต่ช่วง 1-7 ดัน 3) ศึกษาระยะห่างที่เปลี่ยนแปลงของเสาที่ใกล้ที่สุดที่ติดตั้งสายดินซึ่งอากาศที่ฟ้าผ่าลงถึงตำแหน่งเสาที่ติดตั้งมิเตอร์ 4) ศึกษาผลกระบวนการณ์ที่ค่าความด้านทานการต่อลงดินของเสาต้นที่ติดตั้งมิเตอร์มีค่าสูงกว่ามาตรฐาน 5) เส้นทางการไหลของกระแสฟ้าผ่าที่ผ่านจุดต่อลงดินของมิเตอร์

4. ผลการศึกษา

เมื่อทำการวิเคราะห์ระบบด้วยโปรแกรม EMTP-ATP ตามสมมติฐานที่ว่าໄว้ได้ผลการศึกษาแยกตามกรณีดังต่อไปนี้

1) เมื่อกระแสฟ้าผ่านมีค่าเพิ่มขึ้นตั้งแต่ 15-40 กิโลแอมป์ จะทำให้เกิดแรงดันที่จุดต่อลงดิน ณ ตำแหน่งติดตั้งมิเตอร์มีค่าเพิ่มขึ้นตามไปด้วย โดยพิจารณาจากดาวน์ตั้งในตารางที่ 2 (เมื่อให้ระยะห่างระหว่างตำแหน่งฟ้าผ่าลงหัวเสาสายดินซึ่งอากาศอยู่ห่างจากเสาติดตั้งมิเตอร์เป็นระยะทางที่) ซึ่งค่าแรงงานในตารางที่ 2 ห้องแรงดันจุดต่อลงดินที่

เกินพิกัดแรงดันคงทันฟ้าผ่าของวาริสเตอร์ที่ 3.6 กิโลโวลต์ในตัวมิเตอร์

[8]

ตารางที่ 2 แรงดันที่จุดต่อลงดินของมิเตอร์ที่คำนวณฟ้าผ่าลงระยะต่างๆ

ระยะห่างฟ้าผ่าลง	แรงดันที่จุดต่อลงดิน ณ ตำแหน่งติดตั้งมิเตอร์ (kV)						
	1	2	3	4	5	6	7
ระยะห่างมิเตอร์ จึงหุ้ฟ้าผ่าลง	3 m	43 m	83 m	123 m	163 m	203 m	243 m
15kA	6.20	4.88	4.32	3.57	3.07	2.66	2.53
20kA	8.20	6.50	5.54	4.76	4.09	3.54	3.37
25kA	10.30	8.12	6.92	5.94	5.17	4.43	4.20
30kA	12.30	9.75	8.32	7.10	6.12	5.31	5.04
35kA	14.37	11.36	9.69	8.24	7.16	6.20	5.89
40kA	16.38	12.97	11.07	9.35	8.2	7.08	6.74

2) เมื่อระยะห่างระหว่างตำแหน่งฟ้าผ่าลงหัวเสาสายดินซึ่งอากาศชี้ไปจากเสาที่ติดตั้งมิเตอร์ ความรุนแรงของแรงดันเหนี่ยววนิว ฟ้าผ่าที่จุดต่อลงดิน ณ ตำแหน่งติดตั้งมิเตอร์จะมีค่าลดลง (สำรองฟ้าผ่าตั้งแต่หัวเสาต้นที่ 1-7 ที่ระยะห่างตั้งแต่ 3-243 เมตร และกำหนดให้ขนาดกระแสฟ้าผ่าลงที่) โดยพิจารณาจากดาวน์ตั้งบนของตารางที่ 2

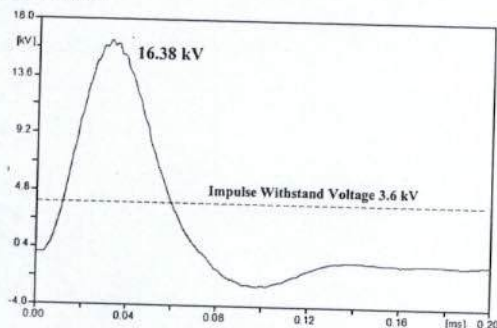
3) เมื่อระยะห่างของเสาต้นที่ 1 ที่ติดตั้งสายดินซึ่งอากาศที่ฟ้าผ่าลงอยู่ใกล้กับเสาที่ติดตั้งมิเตอร์มากขึ้น จะทำให้ระยะห่างแรงดันที่จุดต่อลงดิน ณ ตำแหน่งติดตั้งมิเตอร์มีค่าเพิ่มขึ้นตามไปด้วย (เมื่อทำการเปลี่ยนแปลงระยะห่างเสาต้นที่ 1 ตั้งแต่ 3-40 เมตร และเพิ่มค่ากระแสฟ้าผ่าที่หัวเสาตั้งแต่ 15-40 กิโลแอมป์) ดังแสดงในรูปที่ 7

4) เมื่อค่าความด้านทานการต่อลงดินมีค่าสูงขึ้น (โดยทำการเปลี่ยนแปลงค่าความด้านทานการต่อลงดินตั้งแต่ 5-30 โอห์ม ที่ระยะห่างจากหุ้ฟ้าผ่า 3 เมตร) พบร่วงแรงดัน ณ จุดติดตั้งมิเตอร์จะมีค่าสูงขึ้นตามไปด้วย และความสามารถในการระบายกระแสลงดินมีค่าลดต่ำลง ส่งผลให้แรงดันตกครั้งวาริสเตอร์ภายในมิเตอร์ AMR เพิ่มสูงขึ้นเกินพิกัดความคงทนของวาริสเตอร์มากกว่าเดิม ดังแสดงในรูปที่ 8

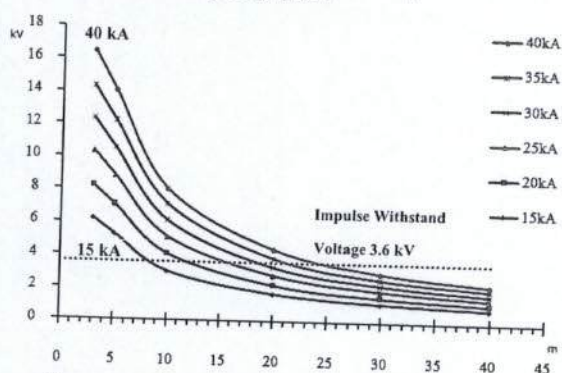
5) เส้นทางการไหลของกระแสฟ้าผ่าที่มีจำกัดของการเกิดฟ้าผ่าลงหัวเสาสายดินซึ่งอากาศต้นที่ 1 แสดงในรูปที่ 5 พบว่าจะให้ผลออกจากจุดเกิดฟ้าผ่าทุกทิศทางลงดิน ซึ่งขนาดกระแสขึ้นอยู่กับค่าอิมพีเคนชันของเสานั้นๆ และกระแสส่วนใหญ่จะระนาบสู่พื้นดินกระชาดตามโคนเสา ยิ่งห่างจากจุดฟ้าผ่านมาก ระยะห่างกระแสจะลดลงตามด้วย แต่หากค่าความ

ด้านท่านคืนบริเวณนี้ฯ ต่ำ และมีระยะห่างของเสาที่ติดตั้งมีเดอร์ไม่นาน ก่อ อาจทำให้มีเดอร์ชำรุดเสียหายเนื่องจากเกิดแรงดันเกินตอกคร่อมชุดต่อ ลงคืนของมีเดอร์ และพบอีกว่ามีกระแสบางส่วนหนึ่งยาน้ำผ่านสายไฟสู่ หม้อแปลงชุดวัดและลงสู่มีเดอร์ชั้นกัน แต่มีปริมาณน้อยมาก (ในหน่วย mA) ซึ่งไม่สามารถทำความเสียหายแก่มีเดอร์ได้

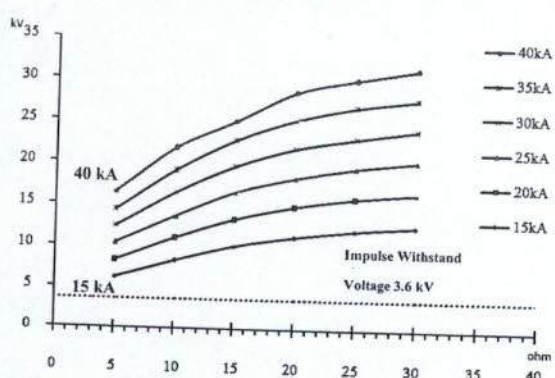
จากการศึกษาที่จุดต่อลงดิน ณ ตำแหน่งติดตั้งมีเดอร์ AMR เมื่อ จำลองกระแสฟ้าผ่าขนาด 40 กิโลแอมป์ ที่ระยะห่าง 3 เมตร ค่าความ ด้านท่านดิน 5 โอดัม ตามมาตรฐานของ กฟภ. จะเกิดแรงดันตอกคร่อม สูงสุด 16.38 กิโลโวลต์ แสดงดังรูปที่ 6 และมีกระแสไฟหล่อผ่านชุดดังกล่าว 3.26 กิโลแอมป์



รูปที่ 6 แรงดันจุดต่อลงดินที่เกิดจากกระแสฟ้าผ่าสูงสุด 40 กิโลแอมป์ ที่ระยะห่างจากจุดฟ้าผ่า 3 เมตร



รูปที่ 7 แรงดันที่จุดต่อลงดิน ณ ตำแหน่งติดตั้งมีเดอร์เทียบกับระยะ ห่างเสาดันที่อยู่ใกล้ที่จำกัดของฟ้าผ่าตั้งแต่ 3-40 เมตร



รูปที่ 8 แรงดันจุดต่อลงดิน ณ ตำแหน่งติดตั้งมีเดอร์เมื่อเปลี่ยนแปลงค่า ความด้านท่านการต่อลงดินตั้งแต่ 5-30 โอดัมที่ระยะห่างจากจุด ฟ้าผ่า 3 เมตร

5. สรุป

จากการศึกษาและวิเคราะห์ปัญหาเพื่อหาสาเหตุการชำรุดของมีเดอร์ ด้วย โปรแกรม EMTP-ATP โดยใช้พารามิเตอร์จริงจาก กฟภ. พบว่ามีอีเกิด ฟ้าผ่าลงสายดินซึ่งอากาศบริเวณใกล้กับเสาดันที่ติดตั้งมีเดอร์จะเกิด กระแสระบายลงดินผ่านหลักดินเข้าสู่เสาดันที่ติดตั้งมีเดอร์ทำให้แรงดัน ตกคร่อมชุดต่อลงดินที่ตัวมีเดอร์มีค่าสูงสุด 16.38 กิโลโวลต์ ที่ระยะห่าง 3 เมตร ด้วยกระแสฟ้าผ่า 40 กิโลแอมป์ ($8/20\mu\text{s}$) ซึ่งมีค่าสูงกว่าพิกัด แรงดันคงทันของวาริสเดอร์ที่ใช้ระบบพลังงานฟ้าผ่านของมีเดอร์อยู่ถึง 12.78 กิโลโวลต์ หรือ 3.55 เท่า และในกรณีที่ค่าความด้านท่านการต่อลง ดินมีค่าสูงเกินมาตรฐาน (มากกว่า 5 โอดัม) จะทำให้แรงดัน ณ จุดติดตั้ง มีเดอร์จะมีค่าสูงขึ้นเกินพิกัดการป้องกันด้วยชั้นกัน นอกจากนี้ยังพบอีก ว่าที่กระแสฟ้าผ่า 15 กิโลแอมป์ และ 20 กิโลแอมป์ ($8/20\mu\text{s}$) มีเดอร์ จะปลดออกจากการแรงดันเกินฟ้าผ่า เมื่อเสาดันที่ติดตั้งมีเดอร์อยู่ห่างจากเส าดันที่เกิดฟ้าผ่าที่ระยะห่างมากกว่า 123 เมตรและ 203 เมตรตามลำดับ ซึ่ง ในทางปฏิบัติการควบคุมชุดที่ต้องการให้ฟ้าผ่าลงทำได้ยาก ดังนั้น แนวทางในการลดความเสียหายอันเนื่องจากฟ้าผ่าหรือฟ้าผ่านหัน ระยะไกล จึงควรปรับปรุงโดยการเพิ่มพิกัดแรงดันคงทันฟ้าผ่านของ วาริสเดอร์ภายในตัวมีเดอร์ให้มีค่าสูงขึ้น

6. กิตติกรรมประภาค

ขอขอบคุณโครงการพัฒนาการอ่านหน่วยด้วยระบบอัตโนมัติ และ กองวิจัย กฟภ. ที่อนุเคราะห์ข้อมูลและข้อแนะนำด้วยๆ ต่องานวิจัยนี้

7. เอกสารอ้างอิง

- [1] Domme, H. W. EMTP theory book, 2nd Edition, May 1992
- [2] วิวัฒน์ ฤลวงศ์วิทัย, การต่อลงดินเล่น 5 อิมพัลส์อิมพิแดนซ์, 2552.
- [3] กองแผนงานระบบไฟฟ้า, ค่าพารามิเตอร์สายระบบชำหน่ายและ ระบบสายส่ง, ฝ่ายวางแผนระบบไฟฟ้า กฟภ., 2548.
- [4] สำเริง ชนท่าไม้, เรื่องอิมพิแดนซ์ของสายไฟฟ้าคอนกรีตอันเนื่องจาก ผลคุณสมบัติทางไฟฟ้าของคอนกรีต, วิทยานิพนธ์ 2548.
- [5] กิตติ เลิ่งเกรียง, “แรงดันเหนี่ยวนำเนื่องจากฟ้าผ่าระบบชำหน่าย 22 kV ที่อยู่บนเสาดันเดียวกับระบบ 115 kV”, วิทยานิพนธ์, 2546.
- [6] Alan Greenwood, Electrical Transients in power Systems, 2nd Edition, 1991, p-p 459-460.
- [7] IEEE Modeling and Analysis of System Transient Working Group, Modeling Guidelines For Fast Front Transient, IEEE Transaction on Delivery, Vol. 11, No.1, January 1996.
- [8] EPCOS, SIOV Metal Oxide Standard Serie, December 2007.
- [9] คณะทำงานจัดทำคู่มือการใช้งานโปรแกรม EMTP, การใช้งาน โปรแกรม EMTP เป็นองค์รวม, การไฟฟ้าส่วนภูมิภาค, ธันวาคม 2550.